



## اعتبارسنجی نشانگرهای منتخب تحمل به تنفس خشکی در ژنتیک‌های سویا در شرایط نرمال و تنفس خشکی

احمدرضا دادرس<sup>۱</sup>, حبیب ا... سمیعزاده<sup>۲</sup> و حسین صبوری<sup>۳</sup>

۱- دانش آموخته مقطع دکتری دانشگاه گیلان و استادیار پژوهشی مرکز تحقیقات و آموزش کشاورزی و منابع طبیعی استان زنجان

۲- دانشیار، دانشگاه گیلان، (تویسندۀ مسوول): hsmamizadeh@yahoo.com

۳- دانشیار، دانشگاه گنبد کاووس

تاریخ دریافت: ۹۴/۸/۱ تاریخ پذیرش: ۹۴/۸/۹

### چکیده

اعتبارسنجی نشانگرهای پیوسته به QTL‌های شناسایی شده قبل از انجام انتخاب به کمک نشانگر به عنوان یک گام ضروری محسوب می‌شود. در تحقیق حاضر با استفاده از ۱۲۱ رقم و لاین بیشتر فته سویا و کشت در دو محیط نرمال و تحت تنفس خشکی در دو منطقه رشت و گنبد کاووس اقدام به اعتبارسنجی ۲۱ نشانگر ریزماهواره مرتبط با تحمل به تنفس خشکی شد. در بررسی جمعیت از لحاظ میزان تنوع ژنتیکی، متوسط تعداد الی به ازای هر نشانگر، ۵/۰۵۳ الی ۵/۰۱ متوسط محتوای اطلاعات چندشکلی (PIC)، ضریب تنوع ژنتیکی نی (H) و شاخص شانون (I)، به ترتیب ۷/۳۰، ۰/۷۷ و ۰/۵۷۰ و ۰/۷۷ و ۰/۷۳ اندیشه در تفکیک ژنتیک‌های مورد مطالعه است. تجزیه ساختار و تجزیه خوشای بترتیب بر اساس روش بیزی و اتصال همسایگی افراد را به سه زیرمجموعت و سه گروه تقسیم نمودند. نتایج تجزیه ارتباطی بین نشانگرهای ریزماهواره و صفات مرتبط با عملکرد با استفاده از روش‌های GLM و MLM با سه مدل آماری نشان داد که نشانگرهای Satt454 و Satt458 در این زمینه ژنتیکی به تأیید رسیدند و به عنوان تاثیرگذارترین نشانگرها تعیین شدند. بالاترین درصد توجیه تغییرات صفات مربوط به نشانگرهای ۲۹۲ و Sat454 بود که بیش از ۱۸ درصد از تغییرات وزن دانه در کل غلاف‌های بوته را بترتیب در شرایط نرمال و تنفس خشکی تبیین نمودند.

واژه‌های کلیدی: انتخاب به کمک نشانگر، تجزیه خوشای، تجزیه ساختار، تنوع ژنتیکی، ریزماهواره

و همکاران (۱۳) اظهار داشتند نتایج بدست آمده در بررسی تنوع ژنتیکی و تجزیه ارتباطی می‌تواند برای حفظ و کاربرد ژرمپلاسم سویا بسیار مفید باشد.

امروزه غلبه بر محدودیت‌های محیطی از جمله تنفس خشکی در همه گیاهان از جمله سویا با توجه به اهمیت و ارزش غذایی آن، از جایگاه ویژه‌ای برخوردار است. تاکنون روش‌های متعددی برای انتخاب تحمل به خشکی در سویا بکار گرفته شده که می‌توان اندازه‌گیری عملکرد در شرایط تنفس خشکی در طی فصل رشد (۳۰،۱۲) ارزیابی ژنتیک‌ها در محیط‌های کنترل شده نظریه گلخانه و آزمایشگاه (۲۸،۲۷) و استفاده از آبیاری تكمیلی برای ایجاد محیط‌های رطوبتی مختلف برای مقایسه تظاهر ژنتیک‌ها (۲۸) و در دهه اخیر انتخاب به کمک نشانگر (۲۳،۰) را نام برد.

پیچیدگی کنترل ژنتیکی تحمل به تنفس خشکی به ترازهای گران را به استفاده از روش‌های مولکولی در کنار روش‌های سنتی بهبود این صفت سوق می‌دهد. شناسایی QTL‌های کنترل کننده صفات مرتبط با تحمل به تنفس خشکی با استفاده از نشانگرهای مولکولی از جمله روش‌های به ترازی مولکولی است که از نتایج آن پس از طی مراحل تایید می‌توان در برنامه‌های اصلاحی متعدد مثل انتخاب به کمک نشانگر استفاده نمود. تاکنون چندین پژوهش برای شناسایی QTL‌های کنترل کننده صفات مرتبط با تحمل به تنفس خشکی در سویا صورت گرفته است (۳۳،۸،۹،۶،۲۱،۳). در پژوهشی با استفاده از سه جمعیت لاین‌های اینبرد نوترکیب

### مقدمه

سویا زراعی (*Glycine max*) که قبیل از سال ۱۹۴۰ به طور عمده برای علوفه کشت می‌شد، امروزه پس از ذرت و گندم مقام سوم را از نظر تولید دانه و از نظر ارزش غذایی پس از ذرت دومین رتبه را در کشور امریکا دارد و در کشورهایی مثل آمریکا گیاه دانه‌ای مهمی تلقی می‌شود (۲). بر اساس گزارش فائق سطح زیر کشت سویا در جهان در سال ۲۰۱۲ حدود ۱۰۴۹۷۲۵۳ هکتار با میانگین عملکرد ۲۳۰/۳ کیلوگرم در هکتار و در ایران در سال ۲۰۱۲ حدود ۸۰۰۰ هکتار و با میانگین عملکرد حدود ۲۵۰۰ کیلوگرم در هکتار بوده است (۱۱).

بررسی تنوع ژنتیکی برای اهداف مختلف به ترازی از جمله حفظ و نگهداری ژرمپلاسم‌های موجود، انتخاب و گرینش آلل‌های مطلوب و در نهایت بهبود صفات به عنوان یک بستر پایه‌ای و اساسی محسوب می‌شود. در پژوهشی با هدف بررسی تنوع ژنتیکی و تجزیه ارتباطی از یک جمعیت بزرگ سویا با ۱۵۹ ژنتیک انجام شد. ارزیابی تنوع ژنتیکی با استفاده از ۵۵ نشانگر ریزماهواره که در طول ژنوم پراکنده بودند نشان داد که تنوع ژنتیکی به میزان ۰/۸۰۶ و تعداد ۷۸۱ آلل با متوسط ۹/۴ آلل برای هر نشانگر در این مجموعه وجود دارد که نشاندهنده اطلاعات و تنوع ژنتیکی بالا در آنها بود. تجزیه ساختار نیز کلیه ژنتیک‌ها را به چهار گروه تقسیم کرد. تجزیه ارتباطی نیز منجر به شناسایی ۲۱ نشانگر ریزماهواره شد که به طور معنی‌داری با صفات مختلف مرتبط بودند. گوینده

لزوم مکان‌یابی QTL‌های کنترل‌کننده صفات مرتبط با تحمل به تنفس خشکی، باید این نواحی به همراه نشانگرهای پیوسته شناسایی شده تعیین اعتبر گردند. این تحقیق نیز در راستای اعتبار سنجی نشانگرهای کاندیدای تحمل به تنفس خشکی در ژنوتیپ‌های سویا در دو منطقه رشت و گنبد کاووس طرح‌ریزی شد.

### مواد و روش‌ها

مواد گیاهی شامل ۱۰۰ لاین پیشرفت (نسل F7) به همراه ۲۱ رقم سویا (مجموعاً ۱۲۱ ژنوتیپ) بود که در دو محیط نرمال و تحت تنفس خشکی در دو منطقه رشت و گنبد کاووس در سال زراعی ۱۳۹۳ کشت شد. اطلاعات ژنوتیپ‌های مورد مطالعه در جدول ۱ ارائه شده است.

و نشانگرهای مولکولی DArT شناسایی QTL برای سه صفت مرتبط با تحمل به خشکی یعنی میزان هدایت غشاء، محتوای آب نسبی برگ در طول تنفس و بهبود و برگشته گیاه پس از تنفس انجام شد. نتایج نشان داد در سه جمعیت ۶ گروه لینکازی به صورت مشترک با تحمل به خشکی مرتبط می‌باشد (۳۳).

علی‌رغم مکان‌یابی QTL‌های متعدد، از آنجاییکه QTL‌ها برای صفات مختلف با استفاده از زمینه‌های ژنتیکی مختلف شناسایی می‌شوند لذا مستقیماً برای بهزادگران قابل استفاده نیستند و هنوز یک شکاف بین اصول بنیادی و تحقیقات کاربردی در این زمینه وجود دارد (۵). در این راستا تعیین اعتبار QTL‌ها و تأیید نشانگرهای پیوسته به این نواحی شناسایی شده یک گام اساسی و ضروری انجام داده بود. برای انتخاب به کمک نشانگر ابتدا از انجام برنامه‌های انتخابی اقدام شد. لذا علاوه بر

جدول ۱- اطلاعات ژنوتیپ‌های مورد مطالعه در تحقیق حاضر

Table 1. Information of studied genotypes in present research

مشخصات	ردیف	مشخصات	ردیف	مشخصات	ردیف
کاپسین	۸۳	Sahar × Gorgan 3 (1)	۴۲	Nemaha × Savoy (1)*	۱
سحر	۸۴	Sahar × Gorgan 3 (3)	۴۳	Nemaha × Savoy (2)	۲
کتول	۸۵	Hamilton × Katoul (3)	۴۴	Nemaha × Savoy (4)	۳
ولیمز	۸۶	Hamilton × Katoul (2)	۴۵	Nemaha × Savoy (5)	۴
SG20	۸۷	Sahar × Katoul (3)	۴۶	Kottman × Kitimisharo (1)	۵
صفی‌آبادی	۸۸	Sahar × Katoul (4)	۴۷	Kottman × Kitimisharo (2)	۶
L504	۸۹	Sahar × Katoul (5)	۴۸	Kottman × Kitimisharo (3)	۷
۷-سلکسیون	۹۰	Sahar × Katoul (7)	۴۹	Spry × Kitimisharo (1)	۸
۵۳-سلکسیون	۹۱	Sahar × Katoul (8)	۵۰	Spry × Kitimisharo (2)	۹
۵۵-سلکسیون	۹۲	Sahar × Katoul (9)	۵۱	Spry × Kitimisharo (4)	۱۰
۸۱-سلکسیون	۹۳	Hamilton × Gorgan 3 (3)	۵۲	Spry × Kitimisharo (5)	۱۱
۱۶-سلکسیون	۹۴	Williams × Katoul (9)	۵۳	Charleston × Mustang (1)	۱۲
۱۷-سلکسیون	۹۵	Williams × Katoul (5)	۵۴	Charleston × Mustang (2)	۱۳
Hamilton × Sepid (8)	۹۶	Williams × Katoul (4)	۵۵	Charleston × Mustang (3)	۱۴
Sahar × Sepide (1)	۹۷	Sahar × Williams (8)	۵۶	Spry × Savoy (3)	۱۵
Sepide × T1SRF (5)	۹۸	Williams × Katoul (2)	۵۷	Spry × Savoy (4)	۱۶
Hamilton × Fora (3)	۹۹	Sahar × Williams (10)	۵۸	Spry × Savoy (5)	۱۷
Hamilton × K778 (3)	۱۰۰	Sahar × K778 (1)	۵۹	Williams × K778 (3)	۱۸
Sahar × K779 (5)	۱۰۱	Sahar × K778 (3)	۶۰	Williams × K778 (4)	۱۹
Sepide × K778 (3)	۱۰۲	Sahar × K778 (7)	۶۱	Williams × K778 (5)	۲۰
For a × Macon (3)	۱۰۳	Clary × Nigeria (10)	۶۲	Williams × Hamilton (1)	۲۱
For a × LD 10 (1)	۱۰۴	Sahar × Hamilton (3)	۶۳	Williams × Hamilton (2)	۲۲
Williams × K778 (2)	۱۰۵	Sahar × Hamilton (4)	۶۴	Williams × Hamilton (3)	۲۳
Crawford × Lan (3)	۱۰۶	Sahar × Hamilton (8)	۶۵	Williams × Hamilton (4)	۲۴
Crawford × Vilana (4)	۱۰۷	Graham × Nigeria (9)	۶۶	Hamilton × Katoul (12)	۲۵
Williams × Vilana (4)	۱۰۸	Sahar × Hamilton (10)	۶۷	Hamilton × Williams (2)	۲۶
Mustang × Delsoy 4210	۱۰۹	Graham × Nigeria (2)	۶۸	Hamilton × Williams (3)	۲۷
Spry × Savoy	۱۱۰	Clary × Nigeria (9)	۶۹	Gorgan3 × K778 (1)	۲۸
Pershing × Epps	۱۱۱	Graham × Nigeria (8)	۷۰	Gorgan3 × K778 (2)	۲۹
Williams × Diana (1)	۱۱۲	Graham × Nigeria (8)	۷۱	Gorgan3 × K778 (3)	۳۰
Sahar × Collombus (4)	۱۱۳	Graham × Nigeria (5)	۷۲	Gorgan3 × K778 (8)	۳۱
Sahar × Collombus (13)	۱۱۴	Clary × Nigeria (5)	۷۳	Gorgan3 × K778 (9)	۳۲
Sahar × Crawford (1)	۱۱۵	Clary × Nigeria (3)	۷۴	Gorgan3 × K778 (10)	۳۳
Black Williams × Lan (4)	۱۱۶	H7	۷۵	Gorgan3 × K778 (11)	۳۴
Black Williams × Epps (10)	۱۱۷	L17	۷۶	Gorgan3 × K778 (12)	۳۵
Sahar × K188(5)	۱۱۸	WEb	۷۷	Gorgan3 × Williams (2)	۳۶
Sahar × Hamilton (1)	۱۱۹	PE	۷۸	Gorgan3 × Williams (4)	۳۷
Sahar × LBK (1)	۱۲۰	DW	۷۹	Gorgan3 × Williams (7)	۳۸
DPK×Fora(1)	۱۲۱	M7	۸۰	Hamilton × Katoul (8)	۳۹
		M9	۸۱	Hamilton × Katoul (4)	۴۰
		سازی	۸۲	Gorgan3 × Katoul (4)	۴۱

\*: برای هر لاین، تلاقی تشکیل دهنده آن به همراه شماره لاین مربوطه در نسل F7 در داخل پرانتز آورده شده است.

پس از امتیازدهی نووارها، محتوای اطلاعات چندشکل (PIC) با استفاده از نرمافزار Power Marker و سایر آمارهای تنوع ژنتیکی شامل تعداد آل‌های موثر، شاخص نی و شاخص شانون ( $H'$ ) با استفاده از نرم افزار PopGene (۳۴) محاسبه شدند. در ادامه ماتریس ژنتیکی شباهت با ضرایب مختلف همانند جاکارد<sup>۱</sup>، ضریب تطابق ساده<sup>۲</sup> و نی<sup>۳</sup>، تشکیل گردید و گروه‌بندی ژنوتیپ‌ها، طبق الگوریتم‌های مختلف تجزیه خوشای امتداد ادغام بر حسب متوسط گروه‌ها<sup>۴</sup>، اتصال همسایگی<sup>۵</sup>، دورترین همسایگی<sup>۶</sup> و نزدیکترین همسایگی<sup>۷</sup> با استفاده از نرم‌افزارهای مختلف مثل، NTSYSpc و GGT2، انجام شد و مناسب‌ترین دندروگرام براساس معیارهای مختلف مثل ضریب همبستگی کوفتیک<sup>۸</sup> و ساختار مناسب دندروگرام با حداقل زنجره‌های شدن افراد تعیین گردید. تعداد گروه‌های حاصل از تجزیه خوشای با استفاده از بیشترین فاصله محل ادغام شاخه‌ها در دندروگرام صورت گرفت و گروه‌های مختلف را رنگ تمایز نشان داده شد.

به منظور انجام تجزیه ارتباط ابتدا ماتریس ساختار ژنتیک ژنوتیپ‌ها با استفاده از نرم‌افزار STRUCTURE (۲۵) تشکیل گردید. در این نرم‌افزار با توجه به اینکه در مورد ساختار جمعیت اطلاعات قبلی در دست نبود بنابراین تعداد بهینه K با انجام شبیه‌سازی تعیین گردید. برای این منظور تعداد K از ۱ تا ۱۰ در نظر گرفته شد و انجام شبیه‌سازی با طول دوره ۱۰۰۰۰۰ MCMC<sup>۹</sup> صورت پذیرفت. پس از انجام شبیه‌سازی برای تعیین تعداد بهینه K (تعداد گروه‌ها) از دو ستون خلاصه شده K و LnP(D) برای محاسبات استفاده گردید و برای هر K، میانگین L(K) و انحراف میانگین (Stdev) تکرارها محاسبه گردید. بعد از آن تفاضل میانگین تکرارها برای گروه‌های مجاور به صورت گروه بالاتر منهای گروه پایین‌تر و بهنام L(K) تعیین و سپس تفاضل L(K) برای گروه‌های مجاور و بهنام (K) L محسوبه گردید که در نهایت از این محاسبات K تعیین شد. در صورتی که نمودار دو طرفه K و K رسم گردد نقطه اوج منحنی همان تعداد بهینه K خواهد بود (۱۰). در نهایت ماتریس Q (نتایج حاصل از ساختار جمیت) از نرم‌افزار STRUCTURE استخراج شد و برای انجام تجزیه ارتباط بین داده‌های فوتیکی و ژنوتیپی با استفاده از نرم‌افزار TASSEL 4.1.2 (۴) استفاده شد. در نرم‌افزار TASSEL از سه مدل آماری با دو روش GLM و MLM استفاده شد که این مدل‌ها در جدول ۲ ارائه شده است.

طرح آزمایشی مورد استفاده بلوک‌های کامل تصادفی با سه تکرار بود. هر کرت آزمایشی دارای سه ردیف به طول دو متر با فاصله خطوط کاشت ۳۵ و فاصله بوته‌ها روی ردیف، ۱۰ سانتی‌متر بود. در طی دوره رشد برای مبارزه با علفهای هرز، وجین دستی و همچنین علف کش سوپرگالانت استفاده شد. عملیات کاشت برای هر دو محیط (تنش آبی و بدون تنش آبی) و هر دو منطقه یکسان و بصورت دستی انجام شد. اولین آبیاری نرمال داشت، مقدار آب آبیاری و دوره تناوب با توجه به روابط موجود در منابع (۱) به گونه‌ای اعمال شد که رطوبت خاک در محدوده رطوبتی ظرفیت زراعی تا حد اکثر تخلیه رطوبتی باقی بماند و آبیاری در محیط تنش تا استقرار گیاه در زمین (حدود ۵ تا ۶ برگی) مطابق محیط بدون تنش انجام شد و پس از آن، تنش آبی اعمال شد. زمان اعمال تنش برابر با شرایط رطوبتی ۲۵ درصد تخلیه از رطوبت ظرفیت زراعی در نظر گرفته شد. تعیین این زمان نیز با نمونه‌برداری از خاک از عمق ۳۰ سانتی‌متر برای تعیین میزان رطوبت انجام شد. به منظور جلوگیری از اثر بارندگی در مزرعه تحت تنش خشکی در منطقه رشت، از پوشش پلاستیکی استفاده شد. پس از رسیدگی صفات مختلف مربوط به عملکرد از جمله تعداد کل غلاف در بوته، تعداد دانه در هر غلاف، تعداد دانه در کل بوته، وزن کل بوته، وزن کل غلافها در بوته، وزن دانه در کل غلاف‌ها در بوته و وزن صد دانه اندازه‌گیری شد.

به منظور انجام آزمایشات مولکولی، ابتدا از برگ‌های جوان و سالم در مرحله انتهای رشد رویشی نمونه تهیه شد و استخراج DNA انجام گرفت (۲۶). کمیت و کیفیت DNA با استفاده از اسپکتروفوتومتر و ژل آگارز تعیین و سپس DNA با نسبت‌های مناسب و مورد نیاز رقیق‌سازی شدند. انتخاب نشانگرهای SSR پیوسته به QTL‌های کنترل کننده صفات مرتبط با تحمل به تنش خشکی بر اساس اطلاعات پایگاه اطلاعاتی <http://soybase.org> و مقالات معتبر به تعداد ۲۵ نشانگر انجام شد. از این تعداد ۲۱ نشانگر الگوی نواری قابل امتیازدهی تولید کردند که در تجزیه و تحلیل مورد استفاده قرار گرفت.

انجام PCR، براساس دمای اتصال هر آغازگر انجام شد (۱۷). در ادامه DNA حاصل از تکثیر نشانگرها توسعه الکتروفورز عمودی با استفاده از ژل پلی اکریل آمید و اسپرشن‌ساز شش درصد تفکیک و با روش رنگ آمیزی نیترات نقره (۲۹) قابل رویت گردید. سرانجام داده‌های مولکولی نمونه‌ها از لحاظ نشانگرهای مورد استفاده به ثبت رسیدند.

جدول ۲- سه مدل آماری استفاده شده برای انجام تجزیه ارتباطی نشانگرهای ریزماهواره و صفات فنوتیپی  
Table 2. The used three models to Association analysis between SRR markers and phenotypic traits

مدل	مجموعه داده مورد استفاده
۱: MLM	Phenotype + SSR + K + Q
۲: MLMa	Phenotype + SSR + Kb
۳: GLMc	Phenotype + SSR + Qd

۱: مدل خطی مخلوط. ۲: داده‌های خویشاوندی حاصل از مشابهت کلی افراد از لحاظ زمینه ژنتیکی ناشی از خویشاوندی، ۳: مدل خطی عمومی و ۴: داده‌های ساختار جمیت با اصل و نسب استنباط شده از افراد

1- Jaccard	2- Simple matching coefficient	3- Nei	4- UPGMA
5- Neighbor Joining	6- Complete Linkage	7- Single Linkage	
8- Cophentic	9- Markov Chain Monte Carlo		

برای تعیین بھینه K را نشان می‌دهد. در این شکل مقدار K و K از تسابیج مربوط به شبیه سازی در نرم‌افزار STRUCTURE استخراج گردید. مقدار بھینه K نقطه اوج محنتی است که با توجه به نمودار، بھترین K در این مطالعه ۳ می‌باشد. در واقع تجزیه ساختار نشان داد که تعداد خوشۀایی که پارامتر K را به حداقل خود می‌رساند برابر ۳ می‌باشد و ۱۲۱ رقم و لاین سویا به سه گروه تقسیم‌بندی شدند. تعداد ۴۵، ۴۷ و ۲۷ ژنوتیپ به ترتیب به گروه‌های ۱ تا ۳ منتسب شدند و تعداد ۱۰ ژنوتیپ به صورت مخلوط شناسایی شدند. دندروگرام تجزیه خوشۀای ژنوتیپ‌ها (به صورت نمایش تابشی) بر اساس اطلاعات نشانگرهای ریزماهواره در شکل ۳ ارائه شده است. گروه‌بندی ژنوتیپ‌ها بر اساس بیشترین فاصله محل ادغام خوشۀای در دندروگرام، ژنوتیپ‌ها را به سه گروه تقسیم نمود که با رنگ‌های تمایز نشان داده شده است. مقایسه نتایج تجزیه خوشۀای و تجزیه ساختار در پژوهش حاضر نیز بیانگر این حقیقت است که علی‌رغم مطابقت‌های قابل توجهی بین این دو تجزیه در زیرگروه‌های کوچک، اما نمی‌توان مطابقت کامل بین آنها مشاهده نمود. در مقایسه کلی این دو نوع تجزیه بر روی داده‌های حاصل از نشانگرهای مولکولی عنوان شد یک جمعیت مورد مطالعه می‌تواند از لحاظ ساختار ژنتیکی که ناشی از تفاوت فراوانی آللی و آماره F رایت<sup>۱</sup> است به زیر گروه‌های مختلف تقسیم گردد. نتایج گروه‌بندی بر اساس ساختار ژنتیکی می‌تواند متفاوت یا شاید با گروه‌بندی با استفاده از تجزیه خوشۀای باشد. چون در تجزیه خوشۀای ابتدا ماتریس شباهت بین افراد تشکیل می‌گردد و سپس از الگوریتم خاص برای گروه‌بندی استفاده می‌شود که می‌تواند به روش‌های مختلفی انجام گیرد. مدل پیشنهاد شده در نرم‌افزار STRUCTURE (۲۵)، خوشۀایی از افراد با استفاده از روش بیزی<sup>۲</sup> و بر اساس ژنوتیپ آنها در چندین مکان ژئی تشکیل می‌شود. روش بیزی اطلاعات منشاء ژنوتیپ‌ها را بیش از روش‌های گروه‌بندی دیگر مثل مدل تجزیه خوشۀای یا تجزیه به بردارهای اصلی مدنظر قرار می‌دهد (۲۶).

## نتایج و بحث

**بررسی آماره‌های تنوع ژنتیکی و تجزیه ساختار**  
 آماره‌های تنوع ژنتیکی نشانگرهای ریزماهواره مورد بررسی در جدول ۳ نشان داده شده است. همانگونه که مشاهده می‌شود در کل ۱۱۶ آلل شناسایی شد که به طور متوسط به ازای هر نشانگر ۵/۵۳ الی ۵/۵۳ براورد می‌گردد. دقت در نتایج بیانگر این است که بالاترین محتوای اطلاعات چندشکلی یا PIC به نشانگرهای Satt454، Satt458 و Satt418 با مقدار PIC برابر یا بیش از ۸۰٪ اختصاص دارد. این نشانگرهای از شاخص شانون و ضربی تنوع ژنتیکی نی بالا هم برخوردار بودند. شاخص شانون برای این نشانگرهای بالاتر از ۱/۷۶ و ضربی تنوع ژنتیکی بالاتر از ۰/۸۲ براورد شد. بعد از این نشانگرها، Satt210 و Satt292 در مرتبه بعدی اهمیت قرار داشتند. متوسط PIC ۰/۳۷ براورد شد. نشانگرهای Satt471 و ۳۴۳ نیز از لحاظ آماره‌های تنوع پایین‌ترین مقدار را نسبت به سایر نشانگرها بدست آوردند. در این نشانگرها سایر آماره‌ها از جمله شاخص شانون، ضربی تنوع ژنتیکی نی و تعداد آلل موثر نیز نسبت به دیگر نشانگرها پایین‌تر بود. میزان متوسط ضربی تنوع ژنتیکی نی و شاخص شانون به ترتیب ۰/۷۷ و ۰/۵۷ براورد شد و در مجموع با توجه به حصول تعداد آلل متوسط و همچنین مقادیر PIC و سایر آماره‌های تنوع ژنتیکی قابل توجه برای نشانگرها، در مقایسه با سایر مطالعات مشابه (۱۵،۷،۱۶) می‌توان اظهار داشت نشانگرهای مورد استفاده قادر بودند ژنوتیپ‌های سویا در تحقیق حاضر را به طور مناسبی تفکیک نمایند. همچنین وجود تنوع آللی قابل توجه در این جمعیت بر اساس نشانگرهایی که پیوسته به نواحی کنترل کننده صفات مرتبط با اساس اطلاعات مولکولی در تلفیق با اطلاعات فنوتیپی در شناسایی ژنوتیپ‌های متحمل به خشکی امیدوار بود.

**نتایج تجزیه ساختار با استفاده از نرم‌افزار STRUCTURE** در شکل ۱ و ۲ و جدول ۴ ارائه شده است. جدول ۴ آماره‌های محاسبه شده برای تعیین مقدار K برای ژنوتیپ‌های سویا را نشان می‌دهد و شکل ۱ نمودار دو طرفه

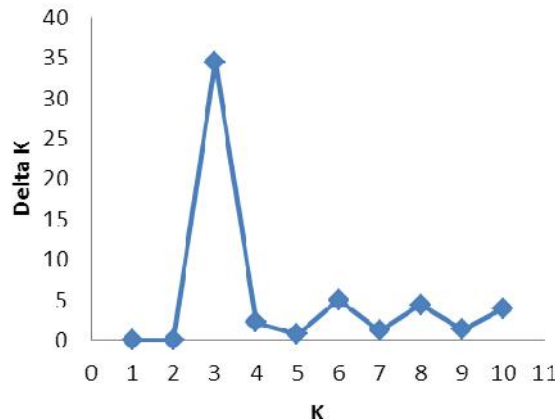
جدول ۳- آماره‌های تنوع ژنتیکی محاسبه شده برای نشانگرهای ریزماهواره مورد بررسی

نامگر	فراوانی الی	تعداد ال	تعداد ال مؤثر	PIC	(H) Nei	ضریب (I)	شاخص Shannon
Sat_343	.۰/۴۲	۳	۲/۸۸	.۰/۵۸	.۰/۶۵	.۰/۷۸	
Sat_345	.۰/۳۸	۵	۳/۹۷	.۰/۷۱	.۰/۷۵	.۰/۷۹	
Satt339	.۰/۳۳	۵	۳/۷۹	.۰/۶۹	.۰/۷۴	.۰/۷۴	
Sat_091	.۰/۳۴	۶	۴/۲۳	.۰/۷۳	.۰/۷۷	.۰/۷۷	.۰/۵۹
Satt572	.۰/۳۷	۴	۳/۷۸	.۰/۶۷	.۰/۷۲	.۰/۷۲	.۰/۷۳
Satt471	.۰/۵۹	۳	۲/۰۵	.۰/۴۲	.۰/۵۲	.۰/۸۲	
Satt454	.۰/۲۲	۶	۵/۶۴	.۰/۸۰	.۰/۸۲	.۰/۷۶	
Satt648	.۰/۲۹	۶	۴/۷۷	.۰/۷۶	.۰/۷۹	.۰/۶۶	
Sat_171	.۰/۳۶	۵	۴/۲۳	.۰/۷۳	.۰/۷۶	.۰/۵۳	
Sat_312	.۰/۲۵	۵	۴/۷۴	.۰/۷۵	.۰/۷۹	.۰/۷۸	
Satt210	.۰/۲۷	۷	۵/۵۱	.۰/۷۹	.۰/۸۲	.۰/۸۱	
Satt478	.۰/۲۷	۶	۴/۸۴	.۰/۷۶	.۰/۷۹	.۰/۶۷	
Satt302	.۰/۳۲	۵	۴/۰۱	.۰/۷۱	.۰/۷۵	.۰/۴۵	
Satt142	.۰/۲۶	۶	۴/۴۱	.۰/۷۸	.۰/۸۲	.۰/۷۴	
Satt317	.۰/۲۲	۶	۵/۳۴	.۰/۷۸	.۰/۸۱	.۰/۷۲	
Satt249	.۰/۲۴	۶	۵/۰۱	.۰/۷۷	.۰/۸۰	.۰/۶۷	
Satt287	.۰/۳۵	۵	۴/۰۱	.۰/۷۱	.۰/۷۵	.۰/۴۸	
Satt458	.۰/۲۳	۷	۶/۲۱	.۰/۸۲	.۰/۸۴	.۰/۸۸	
Satt154	.۰/۲۹	۶	۴/۹۳	.۰/۷۷	.۰/۸۰	.۰/۶۸	
Sat_292	.۰/۲۷	۷	۵/۴۵	.۰/۷۹	.۰/۸۲	.۰/۷۹	
Sat_418	.۰/۲۱	۷	۶/۲۰	.۰/۸۲	.۰/۸۴	.۰/۸۷	
جمع	.۰/۴۸	۱۱۶	۹۶/۸۸	۱۵/۳۴	۱۶/۱۵	۳۳/۰۴	
میانگین	.۰/۳۱	۵/۵۳	۴/۶۲	.۰/۷۳	.۰/۷۷	۱/۵۷	

جدول ۴- آماره‌های محاسبه شده برای مقادیر بهینه K با استفاده از نرم‌افزار STRUCTURE

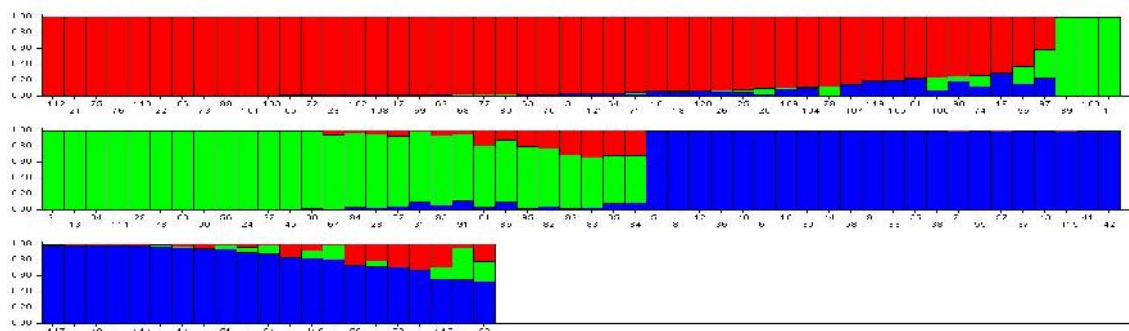
Table 4. Estimated parameter for optimum K values by using STRUCTURE

K	L(k)	Stdev	L'(K)	L"(K)	[L"K]	Delta K
۱	-۷۷۲۲/۳	۱/۲۲	-	-	-	-
۲	-۷۱۷۷/۱	۶۱/۰۹	۵۴۵/۱۸	.۰/۳۳	.۰/۳۳	.۰/۰۰
۳	-۶۶۳۱/۶	۴/۴۷	۵۴۵/۰۲	-۱۵۴/۳۳	۱۵۴/۲۳	۳۴/۵۱
۴	-۵۴۰/۴۲	۲۴/۵۸	۳۹۱/۱۸	-۵۵/۲۸	۵۵/۲۸	۲/۲۴
۵	-۵۹۰/۴/۵۲	۵۸/۰۵	۳۳۵/۹۰	-۴۳/۹۸	۴۳/۹۸	.۰/۷۶
۶	-۵۵۱۱/۶	۳۶/۱۴	۳۹۱/۹۲	-۱۸۴/۱۲	۱۸۴/۱۲	۰/۰۴
۷	-۵۵۱۲/۸	۱۵۱/۴۹	۱۰۹/۸۰	۱۸۱/۷۰	۱۸۱/۷۰	۱/۲۰
۸	-۵۲۱۱/۳	۳۵/۶۶	۲۹۱/۵۰	-۱۵۸/۲۵	۱۵۸/۲۵	۴/۴۴
۹	-۵۰۷۸/۰/۵	۹۶/۵۷	۱۳۳/۲۵	۱۲۵/۶۵	۱۲۵/۶۵	۱/۳۳
۱۰	-۴۸۱۹/۱۵	۶۵/۵۲	۲۵۸/۹۰	-۲۵۸/۹۰	۲۵۸/۹۰	۳/۹۵



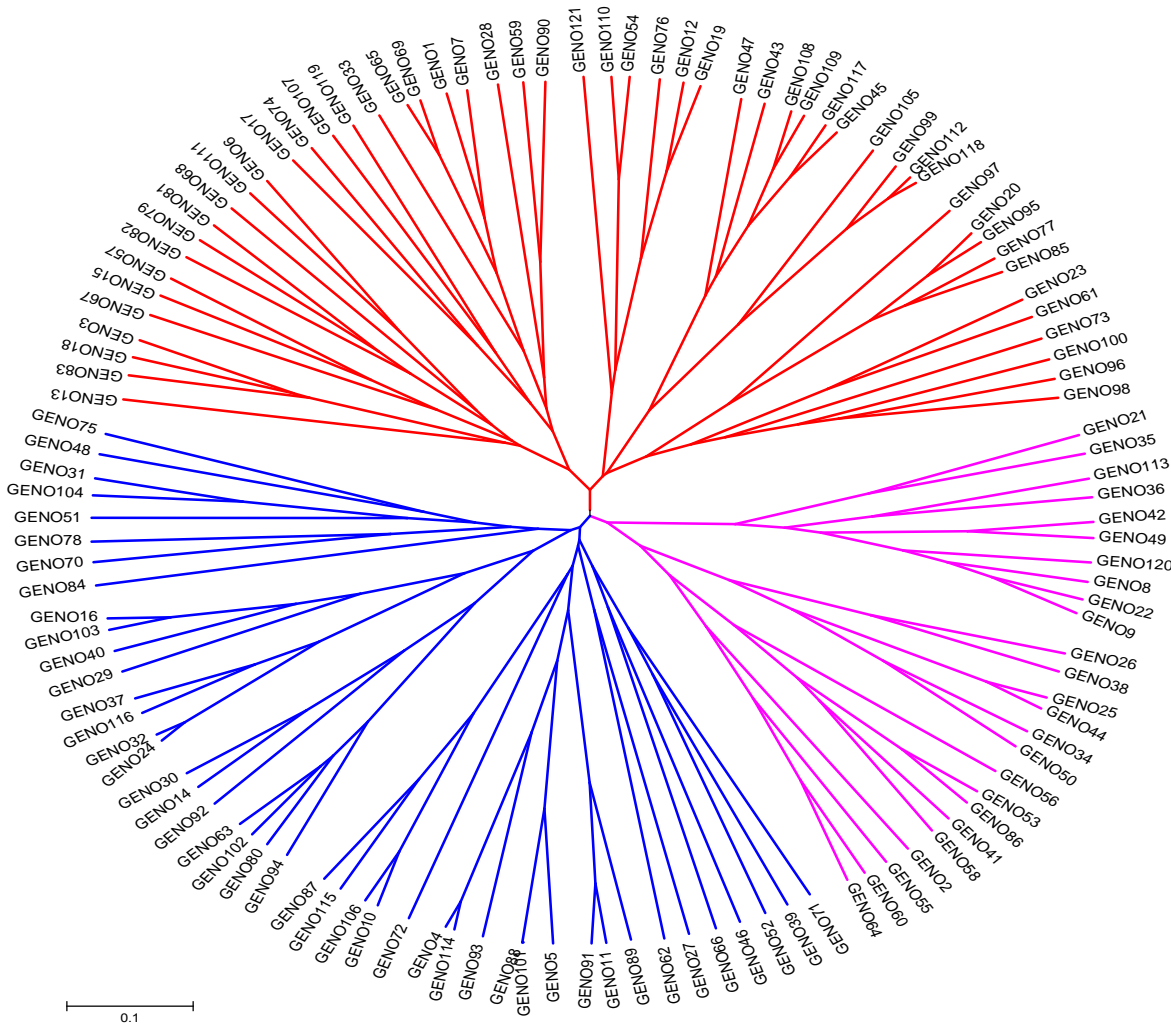
شکل ۱- نمودار دو طرفه برای تعیین مقدار بهینه K

Figure 1. Two-dimensional scatter for determine optimum value of K



شکل ۲- بار پلات ساختار جمعیت مستخرج از STRUCTURE و ۲۱ نشانگر ریزماهواره که در سه بخش رنگی تقسیم شده است . شماره و مشخصات ژنوتیپ‌ها در جدول ۱ آورده شده است

Figure 2. Extracted population structure bar plot from STRUCTURE and the 21 SSR markers distributed in three-color sections. Genotype information are indicated in Table 1



شکل ۳- دندروگرام حاصل از تجزیه خوشی‌ای ژنوتیپ‌های سویا (به شکل نمایش تابیشی) به روش اتصال همسایگی با استفاده از نشانگرهای ریزماهواره. شماره و مشخصات ژنوتیپ‌ها در جدول ۱ آورده شده است

Figure 3. Dendrogram of different soybean genotypes based on SSR markers using neighbor joining similarity matrix. Genotype information are indicated in Table 1

در این مطالعه متوسط محتوای اطلاعات چند شکلی ۰/۶۱۶ برآورد شد و تعداد الال متوسط مربوط به جمیعت‌های متعلق به کره، چن، ژاپن و جنوب شرقی آسیا بترتیب برابر با ۱۳/۴، ۵/۴، ۵/۵ و ۶/۴ بودست آمد. لی و همکاران (۱۵) بر اساس نتایج تجزیه ساختار، ژنتیک‌های کره را منفک از ژنتیک‌های چین گروه‌بندی کردند و آنها را به پنج زیرجمیعت تقسیم نمودند و اظهار داشتند ژنتیک‌های کشور کره با داشتن تنوع ژنتیکی بالا یک ذخیره‌اللی ارزشمند برای برنامه‌های اصلاحی سویا محسوب می‌گردند.

#### تجزیه ارتباطی

نتایج تجزیه ارتباطی بین نشانگرهای ریزماهواره و صفات مربوط به عملکرد برای محیط نرمال و تحت تشثیب در جدول ۵ و ۶ ارائه شده است. در مقایسه بین دو منطقه از لحاظ نشانگرهای شناسایی شده تطابق قابل توجهی وجود دارد و غالباً نشانگرهای معنی‌دار برای هر دو منطقه ریدیابی شدند. در مقایسه مدل‌های آماری نیز بر طبق انتظار تعداد نشانگرهای شناسایی شده در مدل‌های MLM کمتر از GLM بودند. اگر تجزیه ارتباطی، بدون شناسایی ساختار ژنتیکی جمیعت مورد بررسی انجام گیرد، منجر به شناسایی روابط کاذب بین نشانگر و QTL خواهد شد. لذا از اطلاعات حاصل از نتایج ساختار ژنتیکی می‌توان در انجام تجزیه ارتباط استفاده نمود تا از شناسایی بخشی از پیوستگی‌های کاذب که ممکن است به دلیل تفاوت در ساختار جمیعت باشد ممانعت به عمل آید (۱۳).

بررسی تنوع ژنتیکی به منظور حفاظت از منابع و ذخایر ژنتیکی موجود به ویژه در ژنتیک‌های وحشی یکی از اساسی‌ترین برنامه‌های بهترادی محسوب می‌گردد، در این راستا در مطالعه دیگری تنوع ژنتیکی ۹۰ ژنتیک سویا که از نواحی وسیع جغرافیایی از دو کشور چین و کره جمع‌آوری شده بودند، از لحاظ ۴۹ نشانگر SSR مورد بررسی قرار گرفت. آنها ضریب تنوع ژنتیکی نیز برای ژنتیک‌های چین و کره را بترتیب مقدار ۰/۷۶ و ۰/۷۲ برآورد نمودند و عنوان نمودند تنوع ژنتیکی سیار بالایی در جمیعت‌های هر دو کشور وجود دارد که هر کدام به عنوان خزانه ژنتیکی واحد برای بهبود این گیاه قابل بهره‌برداری است (۱۶).

در پژوهشی (۷) ساختار و تنوع ژنتیکی ۱۰۰ ژنتیک سویا در چین را با استفاده از ۵۳ نشانگر ریزماهواره مورد بررسی قرار دادند. این محققین در کل ۲۹۶ آلل با متوسط ۵/۶ آلل برای هر نشانگر SSR و متوسط محتوای اطلاعات چندشکلی متغیر ۰/۵۷۳ برآورد نمودند. در مطالعه آنها تجزیه ساختار، کلیه ژنتیک‌ها را به ۸ زیرجمیعت و تجزیه خوش‌های با روش UPGMA به ۱۱ زیرگروه تقسیم نمود. آنها اظهار داشتند مقایسه دقیق‌تر تجزیه ساختار و تجزیه خوش‌های بیانگر مطابقت قابل توجه بین آنهاست. اکسشن‌هایی که در یک خوش‌های قرار گرفتند از لحاظ منشاء، رنگ بذر یا شجره قرابت قابل توجهی داشتند.

در یک پژوهه گسترده در کره، تعداد ۶۴۴ ژنتیک سویا را از لحاظ ۷۵ نشانگر ریزماهواره مورد تجزیه ژنتیکی قرار دادند.

جدول ۵- نتایج تجزیه ارتباطی شامل سطح معنی‌داری (P) و ضریب تبیین (R<sup>2</sup>) بین نشانگرهای ریزماهواره و صفات مختلف در شرایط نرمال در دو منطقه

Table 5. The result of association analysis including level of significance (P) and coefficient of determination (R<sup>2</sup>) between SSR markers and different traits in non-stress condition in two locations

رشت										گردید				نشانگر	صفت
۳ مدل GLM		۲ مدل MLM		۱ مدل MLM		۳ مدل GLM		۲ مدل MLM		۱ مدل MLM					
P	R <sup>2</sup>														
-.045	-.066	-	-	-	-	-.003	-.109	-	-	-	-	Satt471	غذاء		
-.018	-.118	-	-	-	-	-.049	-.103	-	-	-	-	Satt418	گل		
-.002	-.125	-.003	-.161	-.023	-.136	-.000	-.181	-.008	-.140	-.010	-.130	Satt454	گل		
-.033	-.119	-	-	-	-	-.002	-.175	-	-	-	-	Satt292	غلاب		
-.046	-.051	-.036	-.058	-.047	-.052	-.009	-.136	-.018	-.120	-.016	-.120	Sat_345	غلاب	۲	
-	-	-	-	-	-	-.033	-.098	-.045	-.054	-	-	Satt154	غذاء		
-	-	-	-	-	-	-.032	-.085	-	-	-	-	Satt287	غذاء		
-.040	-.103	-.049	-.083	-	-	-.014	-.102	-.004	-.127	-	-	Satt454	غذاء		
-.027	-.110	-	-	-	-	-.030	-.119	-	-	-	-	Satt471	غلاب		
-.016	-.094	-.016	-.090	-	-	-.024	-.079	-.032	-.085	-	-	Sat_345	غلاب	۲	
-.037	-.091	-	-	-	-	-.027	-.110	-	-	-	-	Satt287	غلاب	۴	
-.010	-.092	-.014	-.110	-	-	-.006	-.102	-.016	-.120	-	-	Satt454	غذاء		
-.022	-.116	-	-	-	-	-.005	-.133	-	-	-	-	Satt471	گل		
-	-	-	-	-	-	-.048	-.079	-	-	-	-	Satt572	غذاء		
-.010	-.162	-.006	-.182	-.034	-.102	-.000	-.177	-.001	-.169	-.001	-.166	Satt210	غذاء	۲	
-.013	-.116	-.021	-.090	-.044	-.052	-.017	-.106	-.022	-.095	-.034	-.062	Sat_091	ونم		
-.048	-.088	-.12	-.113	-	-	-.023	-.130	-	-	-	-	Satt142	گل		
-.046	-.067	-.042	-.086	-	-	-	-	-	-	-	-	Satt471	غلاب		
-.006	-.102	-	-	-	-	-.007	-.175	-	-	-	-	Satt418	غلاب		
-.022	-.106	-.026	-.079	-	-	-.011	-.163	-.013	-.117	-	-	Satt312	ونم		
-.048	-.087	-.012	-.113	-	-	-.013	-.117	-.018	-.106	-	-	Satt471	گل		
-.032	-.107	-.035	-.133	-.024	-.145	-.002	-.154	-.032	-.107	-.019	-.122	Satt454	غلاب		
-.006	-.182	-.007	-.102	-	-	-.007	-.158	-.026	-.127	-.038	-.120	Satt142	غلاب		
-.013	-.117	-	-	-	-	-.001	-.125	-	-	-	-	Sat_091	غلاب		
-.016	-.094	-	-	-	-	-.010	-.113	-	-	-	-	Satt292	غلاب		
-.006	-.125	-.017	-.106	-	-	-.022	-.095	-.018	-.100	-	-	Sat_345	غلاب		
-.043	-.068	-	-	-	-	-.046	-.067	-	-	-	-	Satt471	ونم		
-.035	-.099	-.005	-.148	-.031	-.115	-.012	-.113	-.012	-.096	-.008	-.107	Satt454	گل		
-.021	-.101	-	-	-	-	-.009	-.111	-	-	-	-	Satt572	غذاء		
-.012	-.145	-	-	-	-	-.006	-.133	-	-	-	-	Satt142	گل		
-.042	-.088	-	-	-	-	-.000	-.221	-	-	-	-	Satt210	غلاب		
-.021	-.090	-	-	-	-	-.011	-.136	-	-	-	-	Sat_345	غلاب	۲	
-.048	-.115	-.012	-.145	-.004	-.189	-.020	-.086	-.033	-.090	-	-	Sat_292	غلاب	۲	
-.010	-.076	-.013	-.076	-.023	-.065	-.002	-.096	-.007	-.086	-.008	-.084	Sat_292	ونم		
-.038	-.081	-	-	-	-	-.020	-.103	-	-	-	-	Satt454	:		
-.001	-.176	-	-	-	-	-.003	-.176	-	-	-	-	Satt142	:		
-.027	-.110	-	-	-	-	-.011	-.148	-	-	-	-	Sat_345	:		

† توضیح مدل‌های ۱ تا ۳ در جدول ۲ آراهه شده است.

جدول ۶- نتایج تجزیه ارتباطی شامل سطح معنی‌داری (P) و ضریب تبیین ( $R^2$ ) بین نشانگرهای ریزماهواره و صفات مختلف در شرایط تنش خشکی در دو منطقه

Table 6. The result of association analysis including level of significance (P) and coefficient of determination (R<sup>2</sup>) between SSR markers and different traits in stress condition in two locations

رشت	گند کاوسوس												صفت	نشانگر		
	۳ مدل GLM		۲ مدل MLM		۱ مدل MLM		۳ مدل GLM		۲ مدل MLM		۱ مدل MLM					
	P	R <sup>2</sup>	P	R <sup>2</sup>	P	R <sup>2</sup>	P	R <sup>2</sup>	P	R <sup>2</sup>	P	R <sup>2</sup>				
۱۰۰۶	/۰۰۶	/۰۱۶	/۰۱۴	/۰۱۵	-	-	-	-	-	-	-	-	Sat_345			
۰۰۳۸	/۰۳۸	/۰۷۹	/۰۱۴	/۰۹۴	/۰۳۵	/۰۷۱	/۰۴۹	/۰۷۹	/۰۲۶	/۰۸۱	/۰۱۲	/۰۹۷	Satt339			
۰۰۱۱	/۰۱۱	/۱۱۵	/۰۰۵	/۱۵۲	/۰۲۵	/۰۱۷	/۰۱۳	/۰۱۳۱	-	-	-	-	Satt249			
۰۰۳۶	/۰۰۳۶	/۱۱۷	/۰۲۳	/۱۱۶	-	-	/۰۱۹	/۰۲۵	-	-	-	-	Satt478			
۰۰۴۹	/۰۰۴۹	/۰۹۷	/۰۱۶	/۱۲۳	/۰۳۸	/۰۷۵	/۰۱۴	/۰۱۴۱	/۰۲۸	/۰۹۱	/۰۳۳	/۰۷۱	Satt458			
۰۰۱۶	/۰۰۱۶	/۰۹۴	/۰۱۶	/۰۹۰	/۰۲۴	/۰۷۹	/۰۲۲	/۰۸۴	/۰۲۲	/۰۱۳۱	/۰۳۴	/۰۱۲	Satt339			
۰۰۲۷	/۰۰۲۷	/۱۱۰	-	-	-	-	/۰۱۴	/۰۱۴۲	/۰۳۵	/۰۱۶	-	-	Satt249			
۰۰۳۰	/۰۰۳۰	/۱۱۹	-	-	-	-	/۰۱۲	/۰۱۴۵	-	-	-	-	Sat_343			
۰۰۳۷	/۰۰۳۷	/۰۹۱	/۰۴۱	/۰۹۲	/۰۰۵۰	/۰۰۸۸	/۰۲۴	/۰۱۲۹	-	-	-	-	Satt458			
۰۰۳۸	/۰۰۳۸	/۰۸۸	-	-	-	-	/۰۰۵۰	/۰۰۸۸	-	-	-	-	Sat_343			
۰۰۰۲	/۰۰۰۲	/۱۴۹	/۰۱۵	/۱۰۵	-	-	/۰۱۹	/۰۱۱۹	-	-	-	-	Sat_345			
۰۰۱۵	/۰۰۱۵	/۱۱۲	/۰۱۷	/۱۰۶	/۰۲۲	/۰۰۷	/۰۰۲	/۰۱۵۲	/۰۰۳۹	/۰۱۰۲	/۰۰۵۰	/۰۰۹۸	Satt339			
۰۰۲۹	/۰۰۲۹	/۱۱۲	-	-	-	-	/۰۲۹	/۰۱۰	-	-	-	-	Sat_091			
۰۰۳۸	/۰۰۳۸	/۰۹۵	/۰۲۱	/۱۱۷	-	-	/۰۰۷	/۰۱۴۳	-	-	-	-	Satt249			
۰۰۰۷	/۰۰۰۷	/۱۲۷	-	-	-	-	/۰۰۱۰	/۰۱۳۵	/۰۰۳۴	/۰۱۰۲	-	-	Satt454			
۰۰۱۵	/۰۰۱۵	/۱۲۵	/۰۱۹	/۱۰۴	-	-	/۰۰۴۸	/۰۱۱۱	-	-	-	-	Satt458			
۰۰۰۵	/۰۰۰۵	/۱۳۴	/۰۲۴	/۰۰۸	/۰۰۱۶	/۰۱۰۵	/۰۰۴۱	/۰۱۰۱	/۰۰۴۹	/۰۰۹۵	-	-	Sat_345			
۰۰۰۳	/۰۰۰۳	/۱۴۱	/۰۱۰	/۱۱۸	/۰۰۷	/۰۱۲۳	/۰۰۲۵	/۰۰۶۴	/۰۰۴۵	/۰۱۱۲	-	-	Satt339			
۰۰۰۴	/۰۰۰۴	/۱۰۶	/۰۱۴	/۱۲۶	/۰۰۴۸	/۰۰۹۵	/۰۰۰۷	/۰۱۴۱	/۰۰۰۸	/۰۱۲۱	-	-	Sat_091			
۰۰۳۶	/۰۰۳۶	/۰۸۳	/۰۳۷	/۰۷۲	-	-	/۰۰۳۴	/۰۱۱۳	/۰۰۰۸	/۰۱۲۱	-	-	Satt454			
۰۰۰۴	/۰۰۰۴	/۱۲۵	/۰۴۳	/۱۱۴	-	-	/۰۰۲۲	/۰۱۳۱	-	-	-	-	Satt648			
۰۰۱۰	/۰۰۱۰	/۱۲۱	/۰۱۰	/۱۱۲	-	-	/۰۰۳۶	/۰۰۹۰	-	-	-	-	Sat_345			
۰۰۰۵	/۰۰۰۵	/۱۳۲	/۰۱۴	/۱۰۵	-	-	/۰۰۱۴	/۰۱۴۱	-	-	-	-	Satt339			
۰۰۰۳	/۰۰۰۳	/۱۲۸	/۰۰۲	/۱۲۳	-	-	/۰۰۴۲	/۰۱۰۳	-	-	-	-	Satt648			
۰۰۱۲	/۰۰۱۲	/۱۲۶	/۰۱۰	/۱۱۲	-	-	/۰۰۰۱	/۰۱۶۶	/۰۰۰۷	/۰۱۴۲	-	-	Satt454			
۰۰۲۱	/۰۰۲۱	/۱۰۷	-	-	-	-	/۰۰۳۵	/۰۱۰۶	-	-	-	-	Sat_091			
۰۰۰۷	/۰۰۰۷	/۱۲۸	-	-	-	-	/۰۰۳۱	/۰۱۲۳	-	-	-	-	Satt142			
۰۰۱۰	/۰۰۱۰	/۱۱۷	/۰۰۰۸	/۱۱۷	-	-	/۰۰۲۵	/۰۰۶۴	/۰۰۰۷	/۰۱۴۱	-	-	Sat_345			
۰۰۰۱	/۰۰۰۱	/۱۵۰	/۰۰۱	/۱۷۲	-	-	-	-	-	-	-	-	Satt339			
۰۰۲۵	/۰۰۲۵	/۱۲۷	/۰۰۲۰	/۱۱۸	-	-	/۰۰۰۷	/۰۱۲۸	-	-	-	-	Satt142			
۰۰۳۶	/۰۰۳۶	/۰۹۰	/۰۴۴	/۱۱۷	/۰۰۰۱	/۰۱۵۴	/۰۰۰۰	/۰۱۸۳	/۰۰۰۵	/۰۱۴۸	/۰۰۰۱	/۰۱۸۳	Satt454			
۰۰۰۲	/۰۰۰۲	/۱۱۰	/۰۰۴۳	/۱۱۴	-	-	/۰۰۰۴	/۰۱۵۱	/۰۰۳۲	/۰۱۱۵	/۰۰۴۳	/۰۱۰۱	Satt317			
۰۰۱۹	/۰۰۱۹	/۱۰۹	/۰۰۰۵	/۱۳۳	-	-	/۰۰۰۸	/۰۱۲۱	-	-	-	-	Sat_292			
۰۰۰۱	/۰۰۰۱	/۱۶۵	-	-	-	-	/۰۰۴۱	/۰۱۱۸	-	-	-	-	Satt648			
۰۰۱۲	/۰۰۱۲	/۰۷۲	/۰۱۹	/۰۸۹	/۰۰۲۷	/۰۰۶۳	/۰۰۴۷	/۰۰۴۷	/۰۰۴۸	/۰۰۹۳	/۰۰۵۰	/۰۱۱۰	Sat_345			
۰۰۰۹	/۰۰۰۹	/۱۲۸	/۰۳۴	/۱۰۷	/۰۰۰۱	/۰۱۴۴	/۰۰۰۵	/۰۱۳۴	/۰۰۲۶	/۰۰۶۴	-	-	Satt454			
۰۰۱۳	/۰۰۱۳	/۱۳۳	-	-	-	-	/۰۰۱۰	/۰۱۱۶	-	-	-	-	Satt458			
۰۰۱۹	/۰۰۱۹	/۱۰۴	-	-	-	-	-	-	-	-	-	-	Sat_292			
۰۰۲۷	/۰۰۲۷	/۰۹۷	-	-	-	-	/۰۰۲۲	/۰۱۱۶	-	-	-	-	Satt339			

۴ توضیح مدل های ۱ تا ۳ در جدول ۲ ارائه شده است.

که نزدیک به ۱۹ درصد از تغییرات وزن دانه در کل غلافها در بوته را تبیین نمود. در محیط تحت تنش خشکی مهمترین و تاثیرگذارترین نشانگرها برای صفات تعداد غلاف و تعداد دانه در غلاف و کل بوته عبارت بودند از Satt339، Satt458 و Satt249 که بوته را بروز کردند. این نشانگرها برای هر سه مدل معنی دار شناسایی شدند. از بین نشانگرها برای صفات مرتبط با وزن بوته، غلاف و دانه در غلاف در محیط نرمال با همچند شدند و از سوی دیگر این نشانگرها در محیط نرمال با همچند کدام از صفات ارتباط معنی دار نداشتند. برای صفات مرتبط با وزن بوته، غلاف و دانه در غلاف در محیط تحت تنش نشانگرها برای هر چهار Satt345، Satt339 و Satt454 برای هر چهار

از بین نشانگرها معنی دار برای صفات تعداد غلاف و تعداد دانه در غلاف و کل بوته در محیط نرمال، نشانگرها Satt210، Satt345 و Satt454 تاثیرگذارتر از سایر نشانگرها بودند و غالباً در هر سه مدل معنی دار شناسایی شدند. از بین نشانگرها معنی دار برای صفات مرتبط با وزن بوته، غلاف و دانه در غلاف در این محیط نشانگرها Sat\_292، Satt142، Satt454 و Satt339 برای اکثر صفات معنی دار برآورد شدند که می تواند نشانه ای بر وجود پلیوتربوپی یا پیوستگی نواحی ژنومی کنترل کننده صفات باشد. بالاترین درصد توجیه تغییرات صفات مربوط به نشانگر Sat\_292 بود

مریبوط به عملکرد در هر دو منطقه و غالباً در هر سه مدل معنی‌دار برآورد شد. همچنین نشانگر Satt300 در مجاورت نشانگر Satt454 بر روی گروه لینکازی A1 قرار دارد که در پژوهش حاضر به عنوان یکی از مؤثرترین نشانگرهای مرتبط با اکثر صفات در هر دو محیط شناسایی شد.

طبق نتایج بدست آمده از مطالعات پیشین، برخی نشانگرهای معنی‌دار در تحقیق حاضر مثل Satt458، برای صفاتی مثل کارایی فسفر و صفات مرتبط با ریشه (۱۹)، نشانگر ۰۹۱ Satt091 برای وزن غلاف و وزن خشک گیاه (۳۲) به عنوان نشانگرهای پیوسته به QTL معرفی شدند. همچنین در پژوهشی که به منظور شناسایی QTL‌های پایدار، با استفاده از مکان‌یابی به کمک چند زمینه ژنتیکی به همراه ارزیابی در چند محیط انجام شد، محققین به کمک دو جمعیت لاین‌های اینبرد نوترکیب سویا مشتق از تلاقي ارقام ژاپنی و آمریکایی Stressland (PI ۵۹۵۹۲۶) × Ohsuzu (PI ۵۹۳۶۵۴) × Tachinagaha (PI ۵۶۱۳۹۶) برآمدند. مکان‌یابی QTL را در دو منطقه آکیتا و کیوتو در ژاپن در طی سال‌های ۲۰۱۱ تا ۲۰۱۷ با انجام رساندن. در نهایت یک QTL بزرگ اثر (qSw17) ارزشمند و پایدار برای وزن تک دانه بر روی کروکوزوم ۱۷ و در حدفاصل نشانگرهای Sat\_292 و Sat\_284 شناسایی شد. این QTL توانست (در محیط‌های مختلف) بین ۹/۴ تا ۲۰/۹ QTL را درصد از تغییرات فنوتیپی وزن تک دانه را با یک اثر الال غالب برای افزایش وزن دانه، توجیه نماید (۴). نشانگر Sat\_292 در تحقیق حاضر به عنوان یکی از نشانگرهای مهم تأثیرگذار در صفات مرتبط با وزن دانه در شرایط نرمال شناسایی شد که می‌تواند دل بر اعتبار و اهمیت این ناحیه ژنومی در کنترل این صفت باشد.

نشانگرهایی که پیوستگی آنها با QTL‌های کنترل‌کننده صفات موردنظر در زمینه‌های ژنتیکی مختلف به تایید رسیده باشد، به عنوان کاندید ارزشمند برای انتخاب به کمک نشانگر در راستای بهبود صفت محسوب می‌شوند. این روش، انتخاب را برای بهبود ویژه صفاتی که اندازه‌گیری برهزینه، زمان بر و مشکل دارند تسریع می‌بخشد. نشانگرهای Satt454، Satt345، Satt339، Satt210، Satt292، Satt142، Satt339 و Satt458 که در پژوهش‌های پیشین به عنوان نشانگرهای پیوسته به صفات مرتبط با تحمل به تنفس خشکی معرفی شده بودند در زمینه ژنتیکی مورد استفاده در این پژوهش نیز به تایید رسیدند و به عنوان مهمترین و تأثیرگذارترین نشانگرها تعیین شدند. همچنین تعدادی از نشانگرها در هیچ کدام از شرایط برای هیچ کدام از صفات معنی‌دار برآورده شدند و این می‌تواند نشاندهنده اهمیت کمتر این نشانگرها در این زمینه ژنتیکی باشد.

صفت معنی‌دار شناسایی شدند. بالاترین درصد توجیه تغییرات به نشانگر Satt454 اختصاص داشت که بیش از ۱۸ درصد از تغییرات وزن دانه در کل غلاف‌های بوته را توجیه نمود. بدیهی است احتمال می‌رود این نشانگرها بتوانند کاندیدای بسیار مناسب و امیدوارکننده در برنامه‌های به نژادی تحمل به تنفس خشکی مثل انتخاب به کمک نشانگر در سویا باشند. این نشانگرها در تحقیقات پیشین (۹،۱۸) نیز به عنوان نشانگرها پیوسته به صفات مرتبط با تحمل به خشکی معروفی شدند. همچنین در برخی از این مطالعات (۹) اعتبارسنجی QTL‌ها نیز با انجام آزمایش در مزرعه و گلخانه صورت گرفت. در این پژوهش که با برسی ۱۸۴ لاین خویش آمیخته نوترکیب حاصل تلاقی ۱ Kefeng و Nannong1138-2 تحت شرایط تنش کمبود آب و شرایط نرمال در مزرعه و گلخانه انجام شد تعداد QTL ۱۹ در ارتباط با عملکرد دانه در بوته در هر دو شرایط تنش و نرمال و تعداد ۱۰ QTL در ارتباط با شاخص حساسیت به خشکی شناسایی شد. نشانگرها پیوسته به این QTL‌ها که با نشانگرهای معنی‌دار در پژوهش حاضر مشترک بودند از Satt142، Satt345 و Satt458 که از نشانگرهای مهم شناسایی شده در محیط تحت تنش بودند. آنها اظهار داشتند شناسایی QTL‌های مشترک برای عملکرد دانه در بوته و شاخص حساسیت به خشکی در چند محیط مختلف می‌تواند به طور قابل توجهی باعث بهبود بازده انتخاب در شرایط تنش خشکی در سویا باشد. در مطالعه دیگری با استفاده از همان جمعیت، ۱۷ QTL برای صفات مرتبط با وضعیت آب برگ در شرایط تنش خشکی در مزرعه و گلخانه ردیابی شد. دو برای ضریب پژمردگی برگ (بر روی گروه پیوستگی A2 در حدفاصل نشانگرهای Satt589- BE820148 و I-AW132402) و یک QTL برای صفت میزان از دست دادن آب در برگ قطع شده بود (بر روی گروه پیوستگی H در حدفاصل نشانگرهای Satt317-Satt142) به صورت پایدار در هر دو شرایط مزرعه و گلخانه وجود داشتند (۸). در مقایسه با پژوهش حاضر هر دو نشانگر Satt317 و Satt142 از جمله نشانگرها معنی‌دار در چند مدل برای صفت وزن دانه در کل بوته در شرایط تنش بودند.

همچنین در پژوهش دیگری با استفاده از لاین‌های اینبرد نوترکیب حاصل از تلاقی PI416937 و Benning، اقدام به شناسایی QTL‌های مرتبط با خشکی و هدایت هیدرولیکی محدودشده در برگ سویا شد و چهار QTL در مجاورت نشانگرهای Satt339، Satt300، Satt478 و Satt175 شناسایی شدند که با چند صفت در ارتباط بودند (۶). در مقایسه با تحقیق حاضر، نشانگر Satt339 برای اکثر صفات

### منابع

1. Alizadeh, A. 2011. Soil, Water, Plant Relationship. Ferdowsi University of Mashhad, Iran, 722 pp (In Persian).
2. Arzani, A. 2011. Breeding Field Crops-Fourth Edition. Isfahan University of Technology Publication Center, 627 pp (by John Milton; Sleper, David Allen Poehlman).
3. Bhatnagar, S.C., A. King, L. Purcell and J.D. Ray. 2005. Identification and Mapping of Quantitative Trait Loci Associated with Crop Responses to Water-deficit Stress in Soybean [*Glycine max* (L.) Merr.]. International annual meeting, 18-25 pp. Salt Lake City, UT.
4. Bradbury, P.J., Z. Zhang, D.E. Kroon, T.M. Casstevens, Y. Ramdoss and E.S. Buckler. 2007. TASSEL: software for association mapping of complex traits in diverse samples. Bioinformatics. 23: 2633-2635.
5. Burton, J. and L. Miranda. 2013. Soybean Improvement: Achievements and Challenges. Ratarstvo i Povrtarstvo, 50: 44-51.
6. Carpentieri-Pipolo, V., A. Pipolo, H. Abdel-Haleem, H. Boerma and T. Sinclair. 2012. Identification of QTLs associated with limited leaf hydraulic conductance in soybean. Euphytica, 186: 679-686.
7. Dong, D., X. Fu, F. Yuan, P. Chen, S. Zhu, B. Li, Q. Yang, X. Yu and D. Zhu. 2014. Genetic diversity and population structure of vegetable soybean (*Glycine max* (L.) Merr.) in China as revealed by SSR markers. Genetic Resources and Crop Evolution, 61: 173-183
8. Du, W.J., S.X. Fu and D.Y. Yu. 2009a. Genetic analysis for the leaf pubescence density and water status traits in soybean [*Glycine max* (L.) Merr.]. Plant Breeding, 128: 259-265.
9. Du, W.J., M. Wang, S. Fu and D. Yu. 2009b. Mapping QTLs for seed yield and drought susceptibility index in soybean (*Glycine max* L.) across different environments. Journal of Genetics and Genomics, 36: 721-731.
10. Evanno, G., E. Regnaut and J. Goudet. 2005. Detecting the number of clusters of individuals using the software STRUCTURE: a simulation study. Molecular Ecology 14: 2611-2620.
11. FAO. 2014. Food Agriculture Organization statistics on line. <http://faostat.fao.org/site/567/DesktopDefault.aspx?PageID=567#ancor>
12. Faraji, A. 2014. Evaluation the Response of Soybean (*Glycin Max* L.) Genotypes to Drought Stress. Journal of crop breeding, 6: 27-40 (In Persian).
13. Gupta, P.K., S. Rustgi and P.L. Kulwal. 2005. Linkage disequilibrium and association studies in higher plants: Present status and future prospects. Plant Molecular Biology, 57: 461-485.
14. Kato, S., T. Sayama, K. Fujii, S. Yumoto, Y. Kono, T.Y. Hwang, A. Kikuchi, Y. Takada, Y. Tanaka, T. Shiraiwa. 2014. A major and stable QTL associated with seed weight in soybean across multiple environments and genetic backgrounds. Theoretical and Applied Genetics, 127: 1365-1374.
15. Lee, G.A., Y.M. Choi, J.Y. Yi, J.W. Chung, M.C. Lee, K.H. Ma, S.Y. Lee, J.W. Cho and J.R. Lee. 2014. Genetic Diversity and Population Structure of Korean Soybean Collection Using 75 Microsatellite Markers. Korean Journal of Crop Science, 59: 492-497.
16. Lee, J.D., T.D. Vuong, H. Moon, J.K. Yu, R. Nelson, H.T. Nguyen and J.G. Shannon. 2011. Genetic diversity and population structure of Korean and Chinese soybean [*Glycine max* (L.) Merr.] accessions Crop Science, 51: 1080-1088.
17. Li, D., T.W. Pfeiffer and P.L. Corneliusb. 2008. Soybean QTL for yield and yield components associated with glycine soja alleles. Crop Science Society of America, 48: 571-581.
18. Li, Y.H., M.J.M. Smulders, R.Z. Chang and L.J. Qiu. 2011. Genetic diversity and association mapping in a collection of selected Chinese soybean accessions based on SSR marker analysis. Conservation Genetics, 12: 1145-1157.
19. Lian, Q., C. Xiaohui, M. Mantong, Y. Xiaolong and L. Hong. 2010. QTL analysis of root traits as related to phosphorus efficiency in soybean. Annals of Botany, 106: 223-234.
20. Malekmohamad, Z., H. Sabori, A. Biabani and E. Hezarjaribi. 2016. Study of genetic diversity of soybean (*Glycine max*) using ISSR markers. Journal of crop breeding, 8: 124-133 (In Persian).
21. Monteros, M.J., G. Lee, A.M. Missaoui, T.E. Carter and H.R. Boerma. 2006. Identification and confirmation of QTL conditioning drought tolerance in Nepalese soybean. The 11th Biennial Conference on the Molecular and Cellular Biology of the Soybean, Abstract PI471938. Lincoln, USA.
22. Nicholas, F.W. 2006. Discovery, validation, and delivery of DNA markers. Australian Journal of Experimental Agriculture, 46: 155-158.
23. Pathan, M.S., J.D. Lee, J.G. Shannon and H.T. Nguyen .2007. Recent advances in breeding for drought and salt stress tolerance in soybean. In: Advances in molecular-breeding toward drought and salt tolerant crops. Jenks MA, Hasegawa PM and Jain SM (eds), Springer USA.
24. Pocovi, M.I. and J.A. Mariotti. 2015. A bayesian approach to inferring the genetic population structure of sugarcane accessions from INTA (Argentina). Chilean journal of agricultural research. 75: 152-159.
25. Pritchard, J.K., M. Stephens and P. Donnelly. 2000. Inference of population structure using multilocus genotype data. Genetics, 155: 945-959.
26. Saghaf Maroof, M.A., R.M. Biyashev, G.P. Yang, Q. Zhang and R.W. Allard. 1994. Extraordinarily polymorphic microsatellite DNA in barely species diversity, chromosomal location, and population dynamics, proceeding of the National Academy of Sciences. USA. 91: 5466-5570.
27. Samnonsa, D.J., D.B. Peters and T. Himowitz. 1979. Screening soybeans for drought resistance. II. Drought box procedure. Crop Science, 19: 719.
28. Samnonsa, D.J., D.B. Peters and T. Himowitz .1980. Screening soybeans for tolerance to moisture stress: a field procedure. Field Crop Research, 3: 321.

29. Sanguinetti, C.J., E. Dias Neto and A.J.G. Simpson. 1994. Rapid silver staining and recovery of PCR products separated on polyacrylamide gels. *Biotechniques*, 17: 915-919.
30. Shannon, C.E. and W. Weaver. 1963. The mathematical theory of communication. University of Illinois Press, Urbana, Ill.
31. Soliman-Mona, M. 2003. Effect of some irrigation region on water consumptive use on growth analysis for some soybean cultivars. *Agric. Mansora Univ. Journal of Agricultural Science*, 28: 4849-4258.
32. Vieira, A.J.D., D.A.D.E. Oliveira, T.C.B. Soares, I. Schuster, N.D. Piovesan, C.A. Martínez, E.G.D.E. Barros and M.A. Moreira. 2006. Use of the QTL approach to the study of soybean trait relationships in two populations of recombinant inbred lines at the F7 and F8 generations. *Brazilian Journal of Plant Physiology*, 18: 281-290.
33. Vu Hang, T.T., A. Kilian, A.T. James, L.M. Bielig and R.J. Lawn. 2015. Use of DArT molecular markers for QTL analysis of drought-stress responses in soybean. II. Marker identification and QTL analyses. *Crop and Pasture Science*, 66: 817-830.
34. Yeh, F.C., R.C. Yang, T.B.J. Boyle, Z.H. Ye and J.X. Mao. 1997. POPGENE, the user-friendly shareware for population genetic analysis Molecular Biology and Biotechnology Centre, University of Alberta, Alberta, Canada.

## **Validation of Candidate Markers Drought Tolerance in Soybean Genotypes under Normal and Drought Stress Condition**

**Ahmad Reza Dadras<sup>1</sup>, Habibollah Samizadeh<sup>2</sup> and Hossein Sabouri<sup>3</sup>**

1- Former Ph. D. Student, University of Guilan and Research Assistant Professor,  
Zanjan Agricultural and Natural Resources Research and Education Center

2- Associate Professor, University of Guilan (Corresponding author: hsamizadeh@yahoo.com)

3- Associate Professor, Gonbad-Kavous University

Received: August 23, 2015

Accepted: October 31, 2015

### **Abstract**

The validity test of the linked markers to identified QTLs is as a necessary step before performing marker assisted selection. In the present study were conducted validity test of 21 microsatellite markers associated to drought tolerance using 121 soybean varieties and advanced lines and planting in two condition normal and under drought stress at two regions Rasht and Gonbad-Kavous. In investigation of population genetic diversity, the average of allele number per marker, 5.53 alleles and average of polymorphic information content (PIC), Nei genetic diversity coefficient (H) and Shannon index (I) were estimated 0.73, 0.77 and 1.57 respectively that high values of these statistics shows their ability to separate studied varieties and lines. The structure and cluster analysis based on bayesian approach and neighbor joining method assigned the cases to three subpopulation and three groups respectively. The association analysis between microsatellite markers and yield related traits using GLM and MLM by three statistic models revealed Satte454, Satt345, Satte210, Sat\_292, Satt142, Satt339, Satt249 and Satt458 were confirmed in this genetic background and identified as the most effective markers. The highest percent of variation explanation were dedicated to Sat\_292 and Satt454 with more than 18 percent variation explanation of seed weight in all plant pods in normal and drought condition respectively.

**Keyword:** Cluster analysis, Genetic diversity, Marker assisted selection, Microsatellite, Structure analysis